Acuerdo No. 709 6 de noviembre de 2014

Por el cual se aprueba la incorporación de un cambio de los parámetros técnicos de los modelos de los sistemas de excitación, velocidad/carga PCU y estabilizador del sistema de potencia de la planta de generación Termoemcali

El Consejo Nacional de Operación en uso de sus facultades legales, en especial las conferidas en el Artículo 36 de la Ley 143 de 1994, el Anexo general de la Resolución CREG 025 de 1995 y su Reglamento Interno y según lo aprobado en la reunión No. 426 del 6 de noviembre de 2014 y,

CONSIDERANDO

- 1. Que mediante el Acuerdo 640 de 2014 se establecieron los requerimientos para la obtención y validación de parámetros del generador y los modelos del sistema de excitación, control de velocidad/potencia y estabilizadores de sistemas de potencia de las unidades de generación del SIN y se definieron las pautas para las pruebas y reajustes de los controles de generación.
- 2. Que siguiendo el procedimiento para solicitar el cambio de parámetros técnicos de las plantas de generación del Acuerdo 497 de 2010, TERMOEMCALI S.A. E.S.P. solicitó al CND mediante comunicación con número de radicado 009798-3-3 del 12 de septiembre de 2014, el cambio de los parámetros técnicos de los modelos de los sistemas de excitación, velocidad/carga PCU y estabilizador del sistema de potencia de la planta de generación Termoemcali.
- 3. Que XM S.A. E.S.P. mediante comunicación 009800-1 del 30 de septiembre de 2014 dio concepto favorable a la solicitud de modificación de los parámetros técnicos de los modelos de los sistemas de excitación, velocidad/carga PCU y estabilizador del sistema de potencia de la planta de generación Termoemcali y considera que los cambios solicitados no ponen en riesgo la operación del Sistema, respecto a la solicitud de modificación de la capacidad de generación y absorción de potencia reactiva y de la curva de cargabilidad, el agente debe seguir el procedimiento establecido en el Acuerdo 689 de 2014.
- 4. Que el Subcomité de Estudios Eléctricos en su reunión 212 del 21 de octubre de 2014 dio su concepto favorable a la solicitud de modificación de los parámetros técnicos de los modelos de los sistemas de excitación, velocidad/carga PCU y estabilizador del sistema de potencia de la planta de generación Termoemcali.
- 5. Que el Comité de Operación en su reunión 253 del 4 de noviembre de 2014 recomendó al CNO la expedición del presente Acuerdo

ACUERDA:

PRIMERO. Aprobar la incorporación de los cambios en los parámetros técnicos de los modelos de los sistemas de excitación, velocidad/carga PCU y estabilizador del sistema de potencia de la planta de generación Termoemcali así:



VARIABLE	VALOR	TERMOE	MCALI I
NOMBRE DE LA UNIDAD		TermoemCali I Gas	TermoemCali Vapor
TIPO DE TURBINA		TG	TV
24. INERCIA GRUPO TURBINA -	Anteriores	7.667999	10.4775
GENERADOR	Nuevos	6	4.2
25. 7.1/	Anteriores	0.5128969	0.85
25. Td'	Nuevos	0.7190	0.8400
26 74"	Anteriores	0.0420	0.0400
26. Td"	Nuevos	0.0220	0.0310
27 7-/	Anteriores	0.2358376	0.3712
27. Tq'	Nuevos	0.3370	0.2180
20 - 4	Anteriores	0.04830233	0.04
28. Tq"	Nuevos	0.0260	0.0420
20. V4	Anteriores	1.9400	2.0500
29. Xd	Nuevos	1.9690	2.2550
20 74	Anteriores	0.3100	0.2100
30. Xd'	Nuevos	0.2560	0.2100
54 VIII	Anteriores	0.2500	0.1700
31. Xd"	Nuevos	0.2250	0.1500
	Anteriores	1.7800	1.8800
32. Xq	Nuevos	1.9140	2.0680
20 44	Anteriores	0.4300	0.4700
33. Xq′	Nuevos	0.4300	0.3000
** · · · ·	Anteriores	0.2500	0.1800
34. Xq"	Nuevos	0.2250	0.1800
25.0	Anteriores	0.00149	0.00306
35. Rs	Nuevos	0.0030	0.0019
25. 6042	Anteriores	0.2200	0.2040
36. SG10	Nuevos	0.1700	0.1400
27. 0012	Anteriores	0.9700	0.4680
37. SG12	Nuevos	0.6200	0.4000
	Anteriores	0.2900	0.1480
38. X2	Nuevos	0.2300	0.1500
	Anteriores	0.1675	0.1139
46. XI	Nuevos	0.2200	0.1210
47. PSS	Nuevos	Ver Anexo del presente Acuerdo	NA .
48. EXC	Nuevos	Ver Anexo del presente Acuerdo	Ver Anexo
49. PCU	Nuevos	Ver Anexo del presente Acuerdo	NA



SEGUNDO. El presente Acuerdo rige a partir del despacho que se realizará el 11 de noviembre de 2014, para la operación del 12 de noviembre de 2014.

El Presidente, Ad-hoc

El Secretario Técnico,

Hadul A Mbres S SADUL S. URBAEZ GONZALEZ

ALBERTO OLARTE AGUIRRE

ANEXO

TERMOEMCALI - UNIDAD ST

1. MODELO DEL SISTEMA DE EXCITACIÓN

Tr Cte, de tiempo del transductor [seg]	0,0167
Ka Ganancia del puente [pu]	1328,7
Ta Cte, de tiempo del puente [seg]	0,03
Karm Reacción de Armadura [pu]	0,5
Ke Ganancia de la Excitatriz [pu]	1,
Tb Cte. de tiempo Lag [seg]	1,0038
To Cte. de tiempo Lead [seg]	0,819
Te Cte. de tiempo de la Excitatriz [seg]	2,22
KD Ganancia de realimentación [pu]	0,0543
TD Cte. de tiempo de realimentación [seg]	0,4
Ae Parámetro de saturación excitatriz [pu]	0,01
Be Parámetro de saturación excitatriz [pu]	0,5
Kc Reactancia de conmutación [pu]	0,2
VRMAX Máxima tensión de excitación (pu)	28,85
VRMIN Mínima tensión de excitación [pu]	0,
Qcc Compensador de reactivo [pu]	0,06
Tq Cte. de tiempo medición Q [pu]	0,0167

Tabla 1. Parámetros del AVR



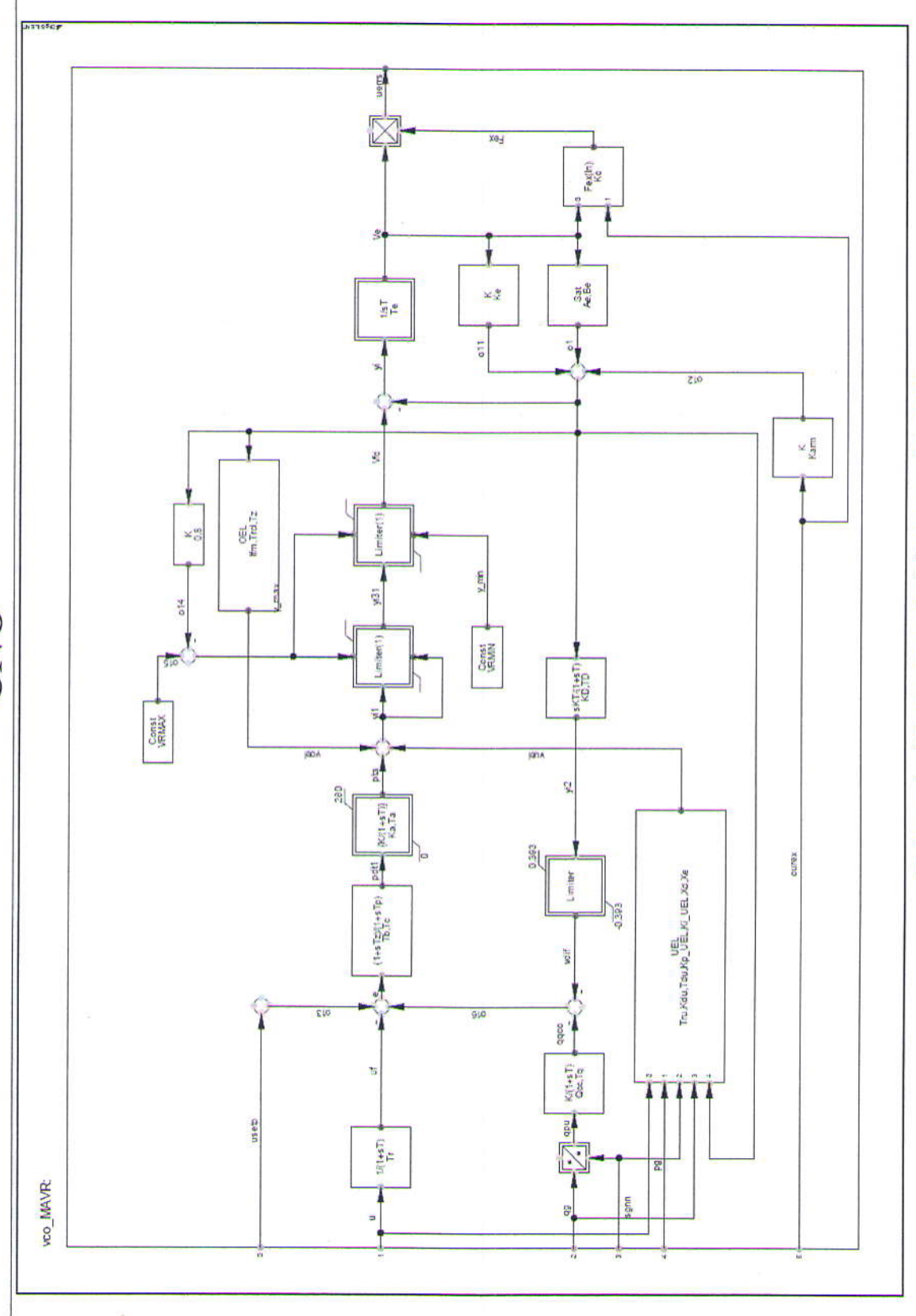


Figura 1. Diagrama de bloques del AVR



2. MODELO DEL LIMITADOR DE SOBREEXCITACION

Ifm	Limite OEL [pu]	4,92
Trel	Cte de tiempo de integración OEL [seg]	0,06
Tz	Umbral de tiempo para escalon temporizado OEL [9,

Tabla 2. Parámetros del modelo de OEL

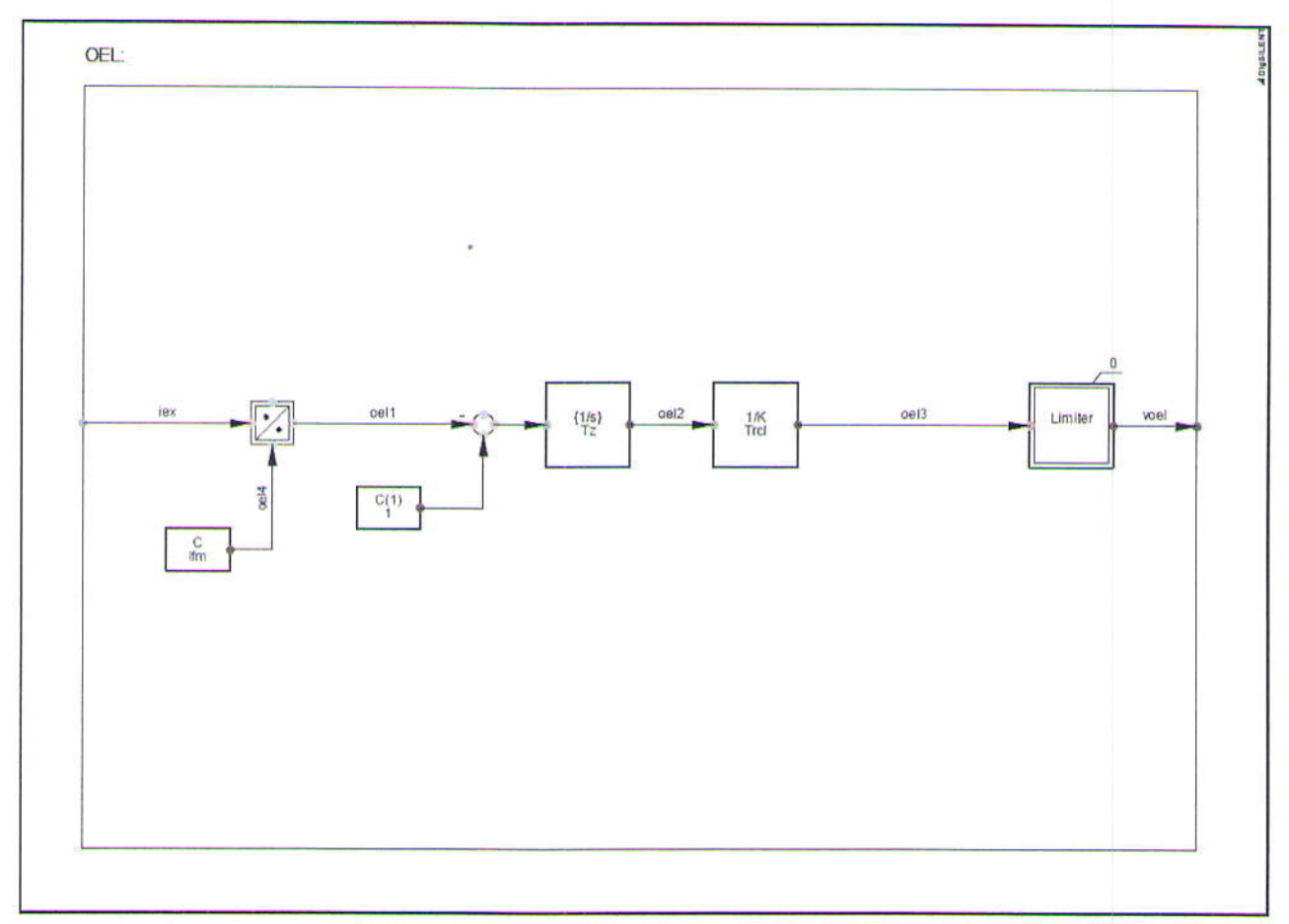


Figura 2. Diagrama de bloques del modelo del OEL

3. MODELO DEL LIMITADOR DE SUBEXCITACION

Tru Cte, de tiempo del transductor UEL [pu]	0,05
Kdu Ganancia de estabilizacion UEL [pu]	0,1
Tdu Cte. de tiempo de estabilizacion UEL [pu]	1,85
Kp_UEL Constante proporcional del PI del UEL [pu]	80,
Ki_UEL Constante integral del PI del UEL [seg]	45,
Xd Reactancia interna [pu]	3,4125
Xe Reactancia externa [pu]	0,17

Tabla 3. Parámetros del modelo de UEL

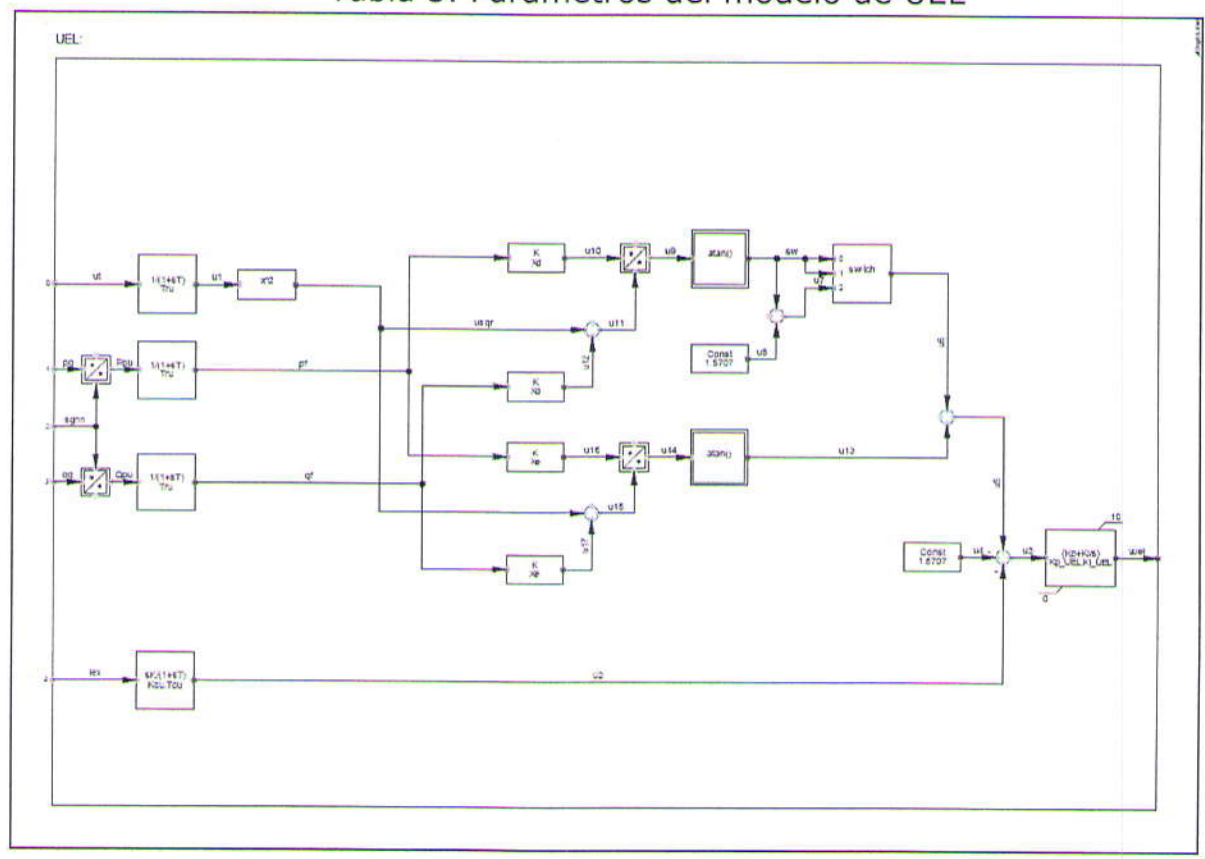


Figura 3. Diagrama de bloques del modelo del UEL

TERMOEMCALI - UNIDAD CT

1. MODELO DEL SISTEMA DE EXCITACIÓN

►Tfw Cte de rampa follower [seg]	25,
Ti Cte de tiempo integral PID [seg]	1,6666
Kb Ganancia puente [pu]	1,
Tb Cte de tiempo puente [seg]	0,004
Tf Cte. de tiempo filtro ETERM [seg]	0,005
Ka Ganancia PID [pu]	92,82
Kvhz Ganancia VHz [pu]	1,
fw_of Valor ajuste follower [pu]	1,
fw_delta Umbral error follower [pu]	0,01
fw_hist Histeresis error follower [pu]	0,
fw_del Delay follower [pu]	4,
Kd Ganancia derivativa PID [pu]	0,
Td Cte de tiempo derivativa PID [seg]	1,
T2E Cte de tiempo lag 1 [seg]	1.
T1E Cte de tiempo lead 1 [seg]	1,
T2 Cte de tiempo lag 2 [seg]	0,01
T1 Cte de tiempo lead 2 [seg]	0,
T2vhz Cte de tiempo lag VHz [seg]	1,
T1vhz Cte de tiempo lead VHz [seg]	1,
VhzLim Limite VHz [pu]	1,05
Vmin Techo de excitacion negativo [pu]	-5,15
fw_min Limite inferior follwer [pu]	0,
min_FC Limite firing command [pu]	-10,
pi_min Limite inferior PID [pu]	-8,
Vmax Techo de excitacion positivo [pu]	5,53
fw_max Limite superior follwer [pu]	10,
max_FC Limite firing command [pu]	10,
pi_max Limite superior PID [pu]	8,

Tabla 4. Parámetros del AVR



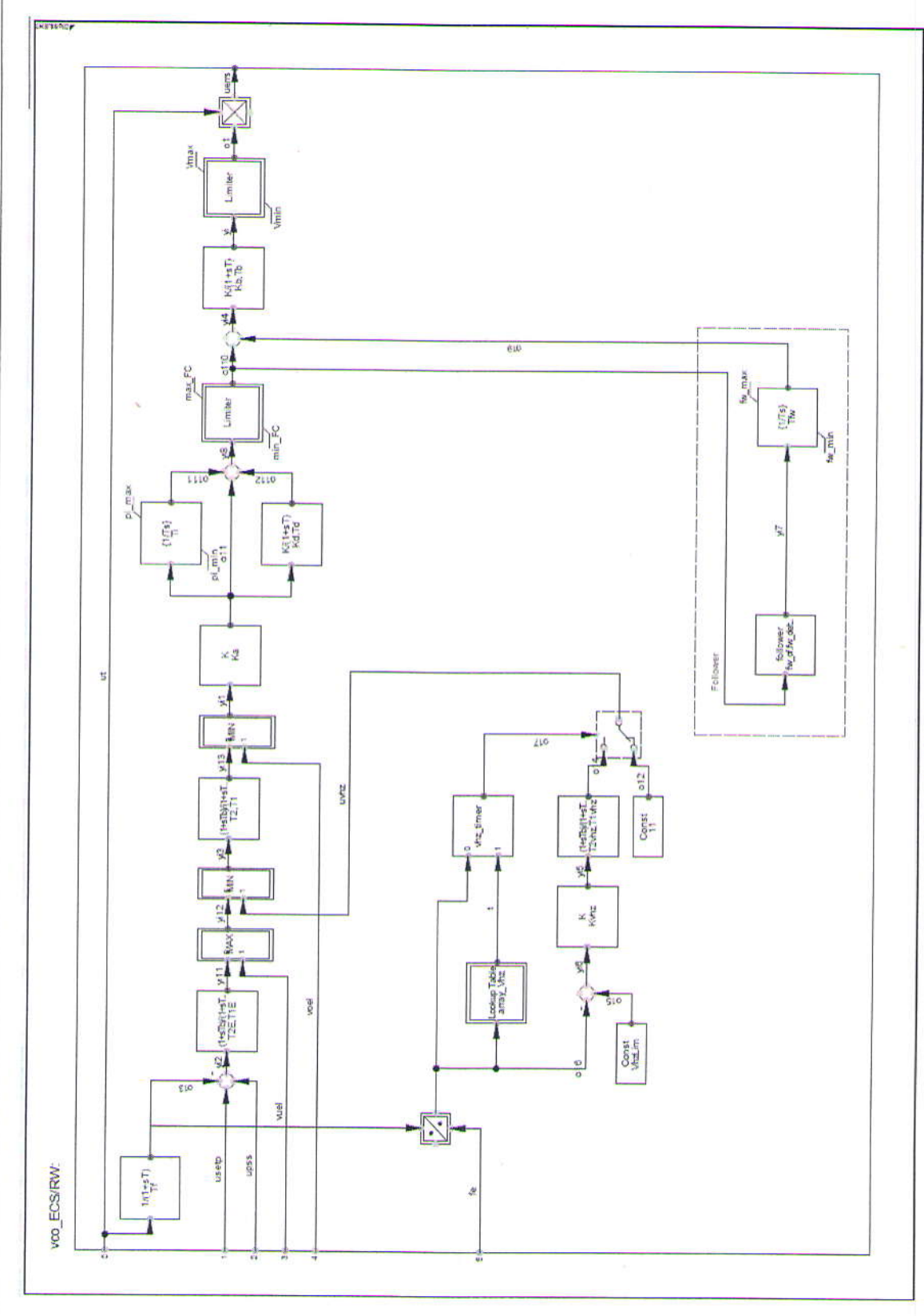


Figura 4. Diagrama de bloques del AVR



2. MODELO DEL CONJUNTO GOV - TURBINA

The state of the s	
▶T2 Cte. de medicion P activa [seg]	0,2
T1 Cte. de tiempo Backlash [seg]	0,4
K3 Ganancia proporcional PT1 FSRT [pu]	0,2
T3 Cte. de tiempo PT1 FSRT [seg]	15,
T4 Cte. de tiempo termocupla FSRT [seg]	7,25
Pumbral Umbral de Potencia (pu)	0,786
T Cte, de tiempo Pmech [seg]	0,6
Kp Ganancia proporcional PI [pu]	0,17
Ki Ganancia integral PI [pu]	0,028
Tr Rate de Temperatura (°C)	1299,1
TC Setpoint de Temperatura [°C]	1128,
wup [pu]	0,01
Fset [pu]	0,
Db Banda Muerta Backlash [pu]	0,
Ki1 Ganancia integral Pl Backlash [pu]	1,152
cosn Factor de potencia nominal [pu/pu]	1,
af1 Ganancia influencia del flujo de combustible [pu]	822,59
bf1 Ganancia influencia de la velocidad (pu)	200,
K4 Ganancia proporcional PT1 FSRT [pu]	0,8
Kp2 Ganancia proporcional Pl Temperatura [pu]	0,0002
Ki2 Ganancia integral Pl Temperatura [pu]	0,00001

Tabla 5. Parámetros del GOV

	K_x	Ky	K1_x	K1_y
►Size	6.	6,	12,	10,
1	0,9583	-0,0837	0,	0,
2	0,994	-0,0837	0,444	0,24
3	0,9995	0,	0,509	0,4349
4	1,0005	0,	0,536	0,5136
5	1,006	0,0837	0,562	0,5952
6	1,04166	0,0837	0,585	0,6528
7	0,	0,	0,607	0,72
8	0,	0,	0,628	0,7728
9	0,	0,	0,632	0,7814
10	0,	0,	0,638	0,788
11	0.	0,	0,9	0,9
12	0,	0,	1,	1,

Tabla 4. Parámetros- Tablas del GOV

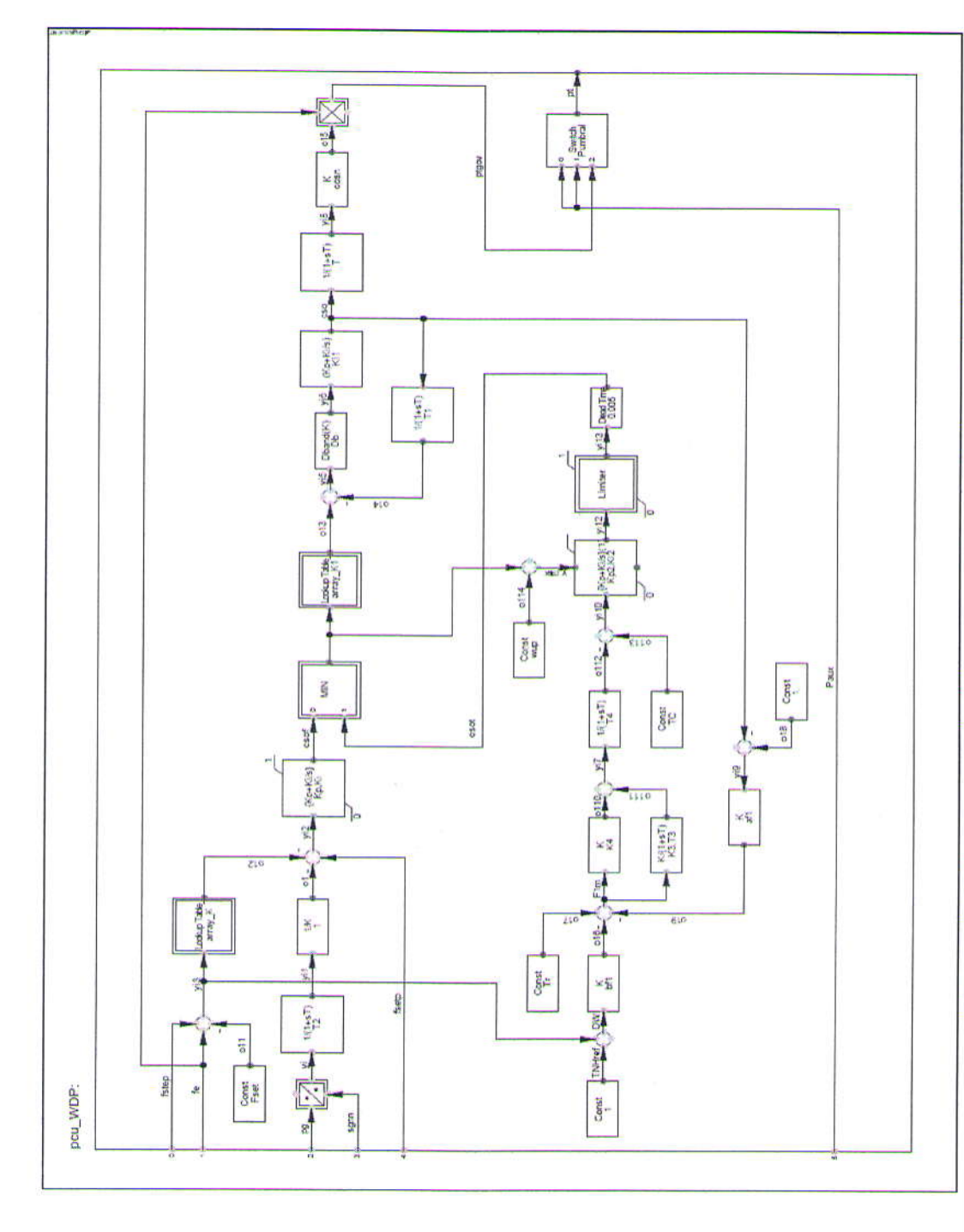


Figura 5. Diagrama de bloques del regulador de Velocidad

3. MODELO DEL PSS

►Tw1 1st Washout 1th Time Constant [s]	10,
Tw2 1st Washout 2th Time Constant [s]	10,
Td Cte de tiempo derivador slip [s]	0,01
T6 1st Signal Transducer Time Constant [s]	0,
Tw3 2nd Washout 1th Time Constant [s]	10,
Ks2 2nd Signal Transducer Factor [pu]	2,16
T7 2nd Signal Transducer Time Constant [s]	3,
Ks3 Washouts Coupling Factor [pu]	1,
Ks1 PSS Gain [pu]	2,
Xq Reactancia para slip [pu]	0,25
Ts1 1st Lead-Lag Derivative Time Constant [s]	0,12
Ts2 1st Lead-Lag Delay Time Constant [s]	0,02
Ts3 2nd Lead-Lag Derivative Time Constant [s]	0,12
Ts4 2nd Lead-Lag Delay Time Constant [s]	0,02
T8 Ramp Tracking Filter Deriv. Time Constant [s]	0,5
T9 Ramp Tracking Filter Delay Time Constant [s]	0,1
N Ramp Tracking Filter [-]	1,
M Ramp Tracking Filter [-]	5,
Vstmin Controller Minimum Output [pu]	-0,05
Vstmax Controller Maximum Output [pu]	0,05

Tabla 6. Parámetros del PSS

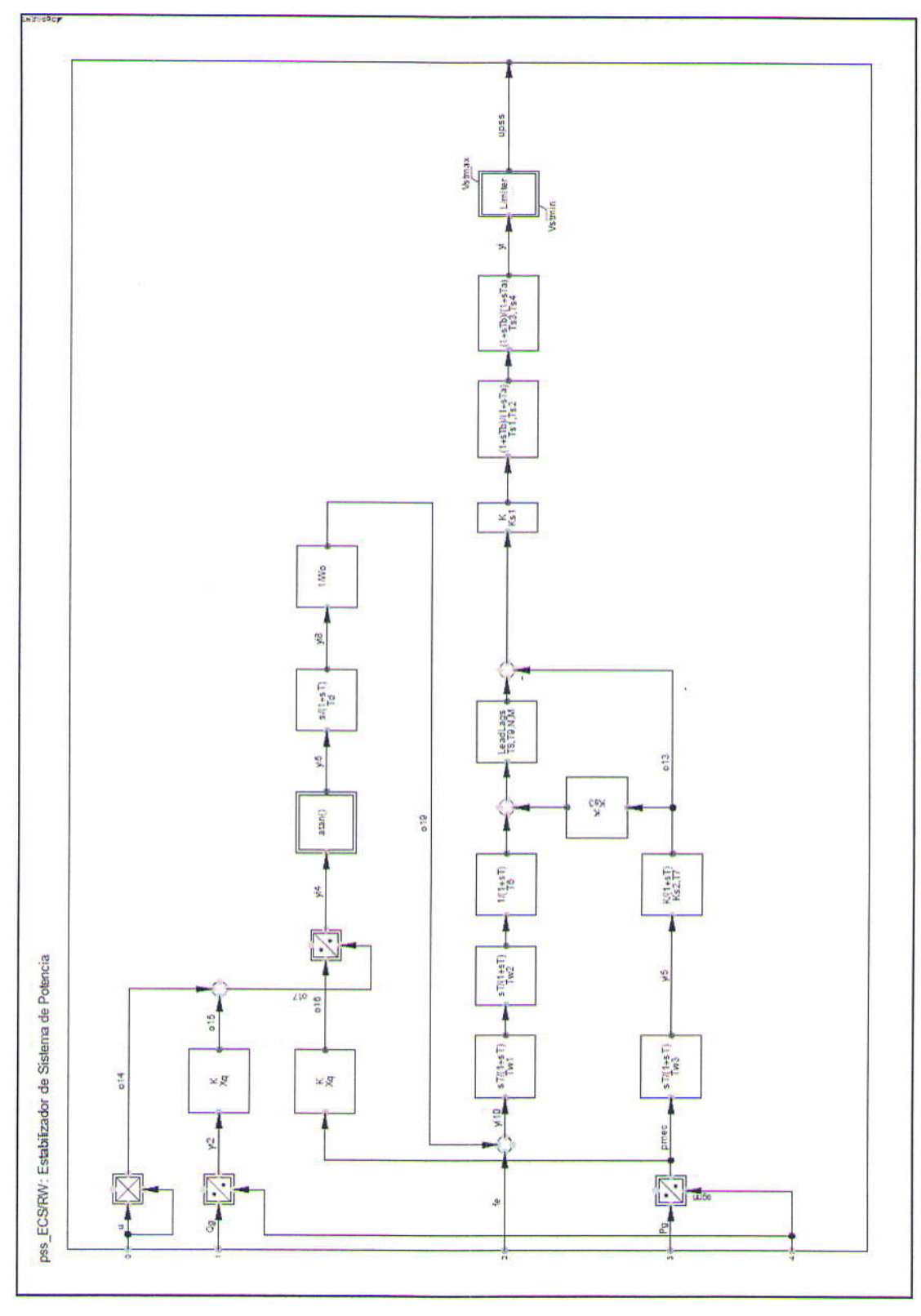


Figura 6. Diagrama de bloques del modelo el PSS

4. MODELO DEL LIMITADOR DE SOBREEXCITACIÓN

Koel Ganancia OEL [pu]	0,15
Koell Ganancia OEL Inst [pu]	0,2
T2oel Cte. tiempo lag OEL [seg]	1,
T1oel Cte. tiempo lead OEL [seg]	1,
T2oell Cte, tiempo lag OEL Inst [seg]	0,2
T1oell Cte, tiempo lead OEL Inst [seg]	0,2
IFDLim Limite IFD tiempo inverso [pu]	0,83
IFDtemp Limite IFD temporizado [pu]	1,3
C Cte. temporizacion OEL [pu]	0,619
A Cte. temporizacion OEL [pu]	12,
IFDinst Limite IFD instantaneo [pu]	1,8

Tabla 7. Parámetros del modelo del OEL

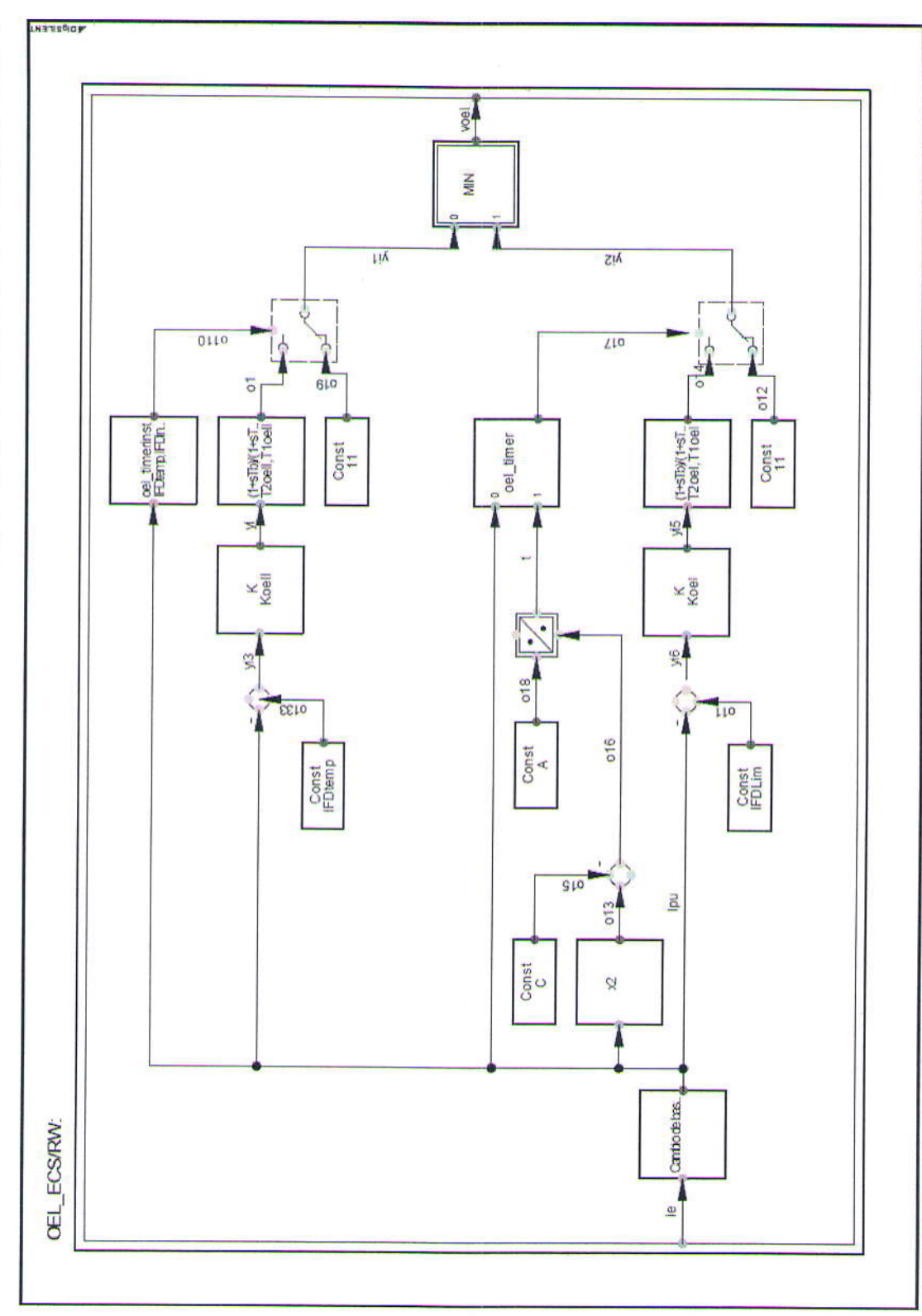


Figura 7. Diagrama de bloques del modelo del OEL



5. MODELO DEL LIMITADOR DE SUBEXCITACIÓN

▶ T2	Cte. de tiempo Lag UEL [pu]	0,01
T1	Cte. de tiempo Lead UEL [pu]	0,
K	Ganancia UEL [pu]	0,06

Tabla 8. Parámetros del modelo del UEL

	UEL_x	UEL_y
▶Size ■	6.	0,
1	0,	-0,4
2	0,3166	-0,3367
3	0,6333	-0,19
4	0,95	-0,115
5	1,075	-0,105
6	1,2	0,

Tabla 9. Curva de limitación del modelo del UEL

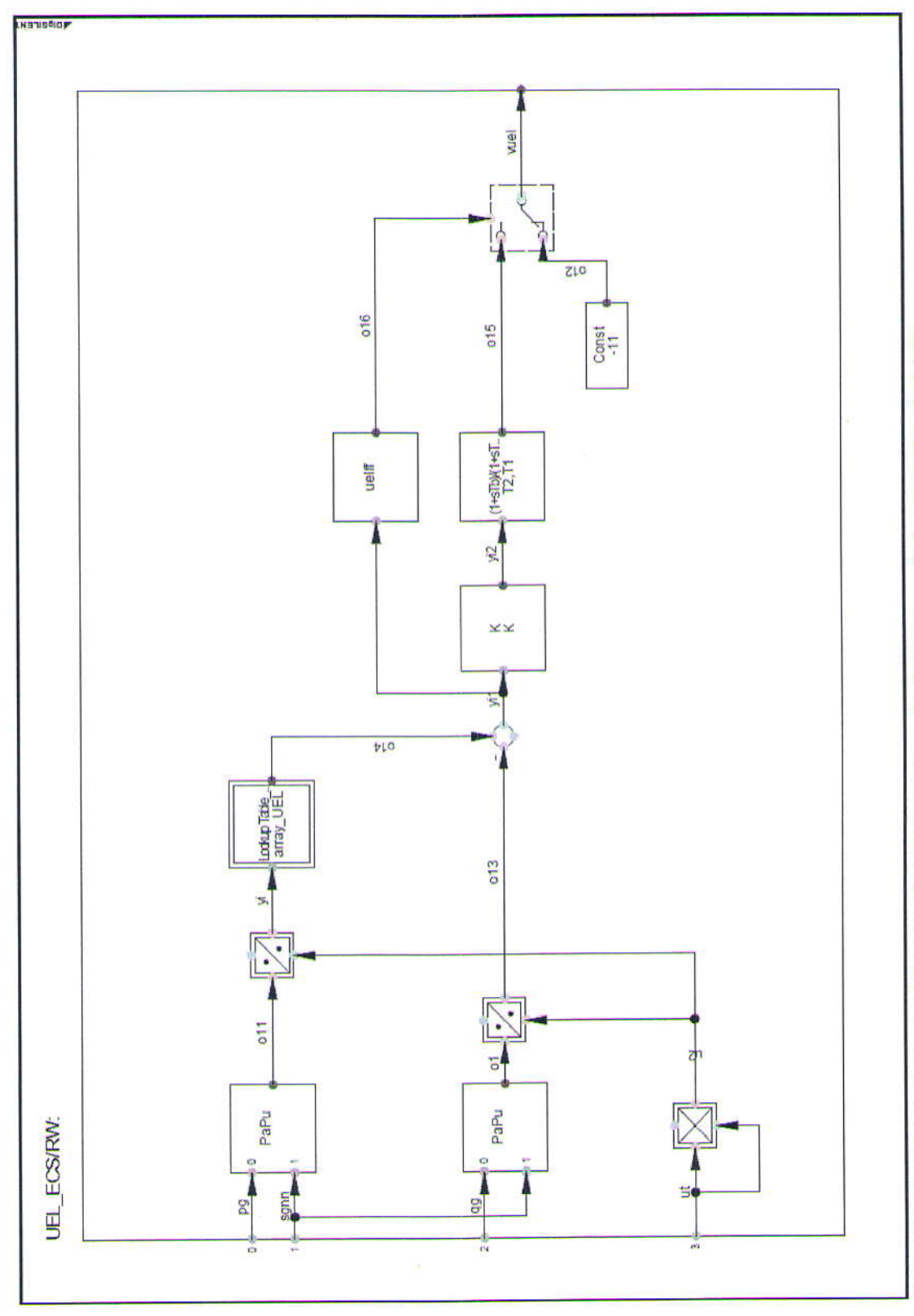


Figura 8. Diagrama de bloques del modelo del UEL



6. MODELO DEL VHZ

	Vhz_x	Vhz y
-Size	5,	5
1	1,05	30,
2	1,051	30,
3	1,07	13,
4	1,25	6,
5	1,25	6,

Tabla 10. Curva de actuación del VHz